

INSTITUTO FEDERAL DE EDUCAÇÃO, CIÊNCIA E TECNOLOGIA
DE SANTA CATARINA
CAMPUS SÃO JOSÉ

ARTHUR CADORE MATUELLA BARCELLA

**SIMULAÇÃO DE TRANSMISSOR E RECEPTOR PTT-A3 PARA
APLICAÇÕES NO SISTEMA DE SATÉLITES ARGOS-3**

SÃO JOSÉ

2025

Arthur Cadore Matuella Barcella

Simulação de Transmissor e Receptor PTT-A3 para Aplicações no
Sistema de Satélites ARGOS-3

Monografia apresentada ao Curso de Engenharia de Telecomunicações do Instituto Federal de Santa Catarina, para a obtenção do título de bacharel em Engenharia de Telecomunicações.

Área de concentração: Telecomunicações

Orientador: Prof. Roberto Wanderley da Nóbrega, Dr.

Coorientadora: Prof. Richard Demo Souza, Dr.

São José

2025

Arthur Cadore Matuella Barcella

Simulação de Transmissor e Receptor PTT-A3 para Aplicações no
Sistema de Satélites ARGOS-3

Monografia apresentada ao Curso de Engenharia de Telecomunicações do Instituto Federal de Santa Catarina, para a obtenção do título de bacharel em Engenharia de Telecomunicações.

São José, 16 de abril de 2025.

Prof. Roberto Wanderley da Nóbrega, Dr.
Instituto Federal de Santa Catarina

Professor Fulano, Dr.
Instituto Federal de Santa Catarina

Professora Fulana, Dra.
Instituto Federal de Santa Catarina

Aos meus pais, que sempre acreditaram em mim, e me ensinaram a sonhar.

AGRADECIMENTOS

Agradeço à minha família, que sempre esteve ao meu lado, me apoiando e incentivando a seguir em frente. Vocês são a minha base e a razão pela qual busco sempre o melhor.

Agradeço especialmente ao meu orientador, Professor Fulano, pela orientação e apoio durante todo o processo de elaboração deste trabalho. Sua experiência e conhecimento foram fundamentais para o meu aprendizado e crescimento acadêmico.

Agradeço ao Instituto Federal de Santa Catarina, que me proporcionou uma formação sólida e de qualidade, e a todos os professores que contribuíram para o meu aprendizado.

Agradeço também aos meus colegas de curso, que compartilharam comigo momentos de aprendizado e crescimento. Juntos, enfrentamos os desafios e celebramos as conquistas.

“Sempre que te perguntarem se podes fazer um trabalho, respondas que sim e te ponhas em seguida a aprender como se faz.” (NOME, ANO)

RESUMO

O presente trabalho tem como objetivo o desenvolvimento e simulação de um sistema de modulação e demodulação, utilizando os padrões da terceira geração do sistema de satélites ARGOS-3. Este padrão é utilizado em Plataformas de Coleta de Dados (PCDs) voltadas ao monitoramento ambiental, e emprega técnicas de comunicação digital, como modulação QPSK, codificação convolucional e embaralhamento de dados, com o objetivo de aumentar a confiabilidade do enlace de satélite. A metodologia adotada envolve o estudo de especificações do padrão de comunicação, a estrutura dos datagramas transmitidos pelas PCDs e a implementação, em ambiente simulado, dos blocos responsáveis pela transmissão e recepção digital. O conjunto de simulações vai desde a geração da portadora pura, passando pela palavra de sincronismo e codificação da mensagem do usuário, até a demodulação e recuperação dos dados transmitidos.

Palavras-chave: Comunicação por satélite; PTT-A3; ARGOS-3; Modulação digital;

ABSTRACT

The objective of this work is to develop and simulate a modulation and demodulation system based on the standards of the third generation of the ARGOS-3 satellite system. This standard is used in Data Collection Platforms (DCPs) designed for environmental monitoring and employs modern digital communication techniques such as QPSK modulation, convolutional coding, and data scrambling, aiming to increase the robustness of the satellite communication link. The adopted methodology involves a detailed study of the communication standard specifications, the structure of the datagrams transmitted by the DCPs, and the implementation, in a simulated environment, of the blocks responsible for digital transmission and reception. The proposed simulation set covers the entire chain, from the generation of the continuous wave (CW) carrier, through the synchronization word and user message encoding, to the demodulation and recovery of the transmitted data.

Keywords: Satellite Communication; PTT-A3; ARGOS-3; Digital modulation.

LISTA DE ILUSTRAÇÕES

Figura 1 – Mapa das PCDs distribuídas pelo território nacional	17
Figura 2 – Satélites para coleta de dados ambientais	19
Figura 3 – Estrutura do quadro de transmissão ARGOS-3	21
Figura 4 – Simulação de portadora pura no domínio da frequência	22
Figura 5 – Estrutura do datagrama ARGOS-3	23
Figura 6 – Exemplo de agrupamento de sensores por bloco de dados	25
Figura 7 – Diagrama de blocos do transmissor ARGOS-3	27
Figura 8 – Diagrama de blocos do codificador convolucional ARGOS-3	28

LISTA DE QUADROS

Quadro 1	–	Dados meteorológicos da PCD 31855 (10/10/2007 - 11/10/2007)	. . .	24
Quadro 2	–	Comprimento em bits para cada tamanho de mensagem (T_m)	25
Quadro 3	–	Bits adicionados às mensagens do usuário antes da codificação	26

LISTA DE TABELAS

LISTA DE CÓDIGOS

LISTA DE ABREVIATURAS E SIGLAS

- AD9361** *Analog Devices 9361 - RF Transceptor.*
- ARGOS** *Advanced Research and Global Observation Satellite.*
- ARGOS-2** *ARGOS v2 Communication Standard.*
- ARGOS-3** *ARGOS v3 Communication Standard.*
- CBERS** *China-Brazil Earth Resources Satellites.*
- CBERS-1** *China-Brazil Earth Resources Satellite 1.*
- CBERS-4** *China-Brazil Earth Resources Satellite 4.*
- CNES** *Centre National d'Études Spatiales, França.*
- ETR** *Estações Terrenas de Recepção.*
- FPGA** *Field Programmable Gate Array.*
- INPE** *Instituto Nacional de Pesquisas Espaciais.*
- IoT** *Internet of Things.*
- NASA** *National Aeronautics and Space Administration.*
- NOAA** *National Oceanic and Atmospheric Administration.*
- PCD** *Plataformas de coleta de dado.*
- PM** *Phase Modulation.*
- PTT-A2** *ARGOS v2 Communication Standard PTT.*
- PTT-A3** *ARGOS v3 Communication Standard PTT.*
- PTT-ZE** *variação do PTT-A3 Zero-Energy.*
- QPSK** *Quadrature Phase-Shift Keying.*
- SBCDA** *Sistema Brasileiro de Coleta de Dados Ambientais.*
- SCD-1** *Satélite de Coleta de Dados 1.*
- SCD-2** *Satélite de Coleta de Dados 2.*
- SDR** *Software Defined Radio.*

SINDA Sistema Integrado de Dados Ambientais.

SNR *Signal-to-Noise Ratio*.

Zynq-7000 família de FPGA arquitetura ARM.

LISTA DE SÍMBOLOS

B_m Sequência de bits do comprimento de mensagem, $(0 \leq T_m < 8)_{10}$ (ARGOS-3).

bps *Bits per second*.

I *In-phase component*.

Q *Quadrature component*.

f_c *Carrier frequency*, ≈ 401.65 MHz (ARGOS-3).

G_0 Vetor gerador correspondente ao canal I, $G_0 = [121]_{10}$ (ARGOS-3).

G_1 Vetor gerador correspondente ao canal Q, $G_1 = [91]_{10}$ (ARGOS-3).

I_{PCD} Número da PCD, $(0 \leq I_{PCD} < 1048575)_{10}$ (ARGOS-3).

MHz *Megahertz*.

N_b Número de blocos, $0 < N_b < 9$ (ARGOS-3).

PCD_{ID} Identificador da PCD + checksum, $I_{PCD} + R_{PCD}$.

P_m Bit de paridade do campo B_m .

R_b *Rate bit*, 400 bps (ARGOS-3).

R_{PCD} Bits de checksum do Identificador da PCD.

$S_I[n]$ Sequência de preâmbulo do canal I.

$S[n]$ Sequência de preâmbulo, $S[n] = 2BEEEEBF_{16}$, (ARGOS-3).

$S_Q[n]$ Sequência de preâmbulo do canal Q.

$s(t)$ Sinal modulado em banda passante.

T_m Tamanho da mensagem, $T_m = B_m + P_m$.

u_t Vetor de entrada do codificador convolucional.

$v_t^{(0)}$ Saída do codificador convolucional correspondente a G_0 .

$v_t^{(1)}$ Saída do codificador convolucional correspondente a G_1 .

SUMÁRIO

1	INTRODUÇÃO	16
1.1	OBJETIVOS	18
1.1.1	Objetivo geral	18
1.1.2	Objetivos específicos	18
1.2	ORGANIZAÇÃO DE TEXTO	18
2	REVISÃO BIBLIOGRÁFICA	19
2.1	COLETA DE DADOS SBCDA VIA SATÉLITE	19
2.1.1	Constelação Catarina	20
2.2	EVOLUÇÃO DO SISTEMA ARGOS	20
2.3	ESPECIFICAÇÕES DO PADRÃO PTT-A3	21
2.3.1	Portadora pura	21
2.3.2	Palavra de sincronismo	22
2.3.3	Datagrama	23
2.4	ESTRUTURA DE UM DATAGRAMA ARGOS-3	23
2.4.1	Dados de aplicação	24
2.4.1.1	<i>Sensores</i>	24
2.4.1.2	<i>Blocos de dados</i>	24
2.4.2	Tamanho de mensagem	25
2.4.3	Identificador da PCD	26
2.4.4	Bits de fim de mensagem	26
2.5	TRANSMISSOR PTT-A3	26
2.5.1	Codificador convolucional	27
3	PROPOSTA	29
	Referências	30
	APÊNDICE A – MEU PRIMEIRO APÊNDICE	32
	ANEXO A – MEU PRIMEIRO ASSUNTO DE ANEXO	33
	ANEXO B – SEGUNDO ASSUNTO QUE PESQUISEI	34

1 INTRODUÇÃO

O uso de tecnologias de comunicação via satélite tem se mostrado fundamental para aplicações de *Internet of Things* (IoT) em cenários remotos, especialmente no monitoramento ambiental, oceânico e meteorológico, através de plataformas equipadas com sensores, as chamadas Plataformas de coleta de dado (PCD), que são capazes de transmitir pequenas quantidades de dados periodicamente para satélites de órbita baixa (Centenaro *et al.*, 2021; Fraire; Céspedes; Accettura, 2019).

Dentre os sistemas internacionais voltados para esse tipo de aplicação, destaca-se o *Advanced Research and Global Observation Satellite* (ARGOS) ¹, criado em 1978 por meio de uma cooperação entre o *Centre National d'Études Spatiales*, França (CNES), *National Oceanic and Atmospheric Administration* (NOAA) e *National Aeronautics and Space Administration* (NASA). Desde seu desenvolvimento, o sistema ARGOS tem passado por constantes evoluções, trazendo novos padrões de transmissão e modulação como os formatos *ARGOS v2 Communication Standard PTT* (PTT-A2), *ARGOS v3 Communication Standard PTT* (PTT-A3) e variação do PTT-A3 *Zero-Energy* (PTT-ZE), para aprimorar a eficiência espectral e a confiabilidade do enlace com o satélite.

No Brasil, o Sistema Brasileiro de Coleta de Dados Ambientais (SBCDA) ², desenvolvido e operado pelo Instituto Nacional de Pesquisas Espaciais (INPE), emprega a tecnologia ARGOS. O SBCDA utiliza satélites em órbita baixa, como os Satélite de Coleta de Dados 1 (SCD-1), Satélite de Coleta de Dados 2 (SCD-2) e os satélites da série *China-Brazil Earth Resources Satellites* (CBERS), para coletar dados transmitidos por PCD instaladas em todo o território nacional (Rodrigues, 2018; Duarte *et al.*, 2021).

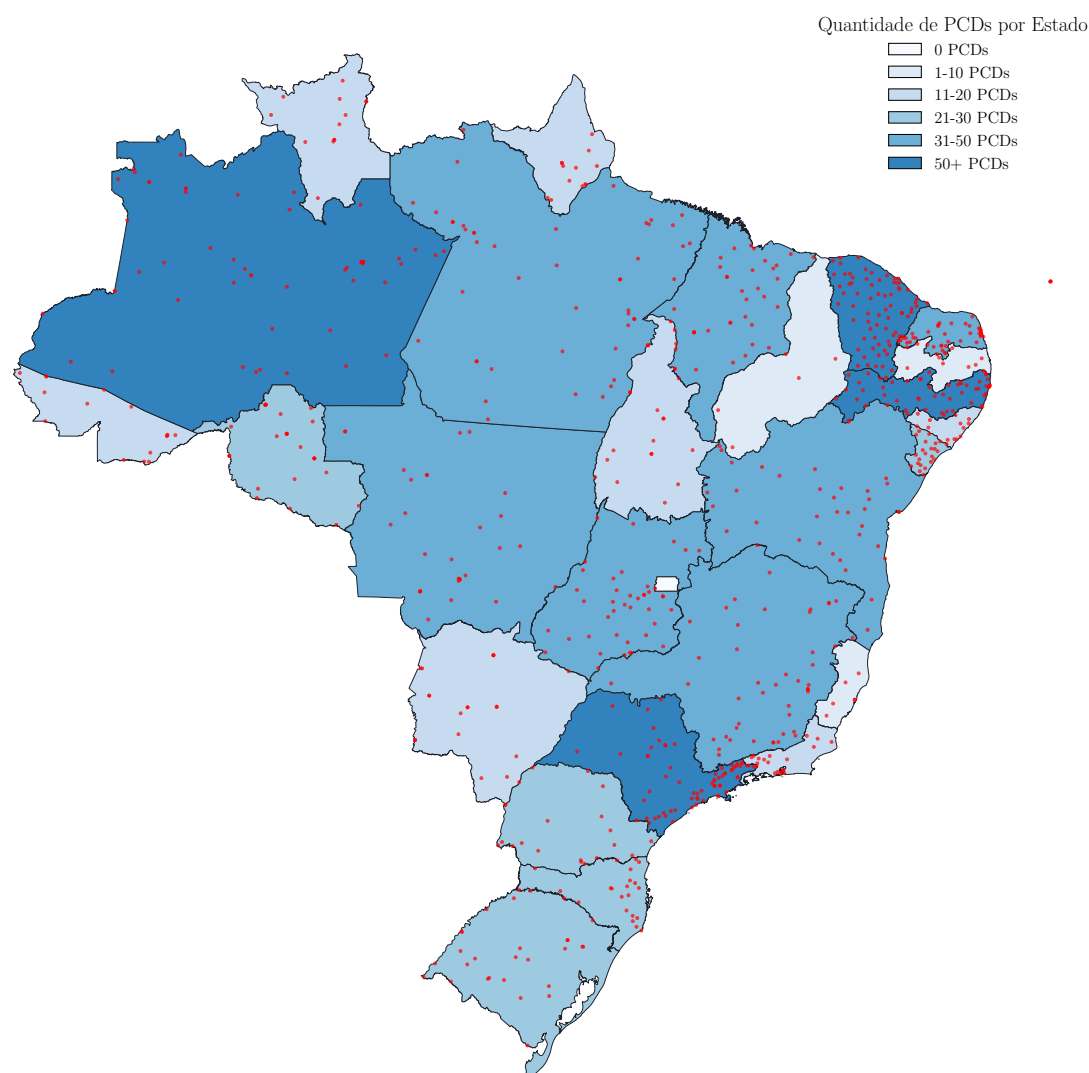
De acordo com dados do Sistema Integrado de Dados Ambientais (SINDA) ³, atualmente é possível realizar a inspeção dos dados de 1030 pontos ativos de coleta distribuídos pelo país, cuja distribuição geográfica é apresentada na Figura 1 (Silva; Almeida, 2022).

¹ <https://www.argos-system.org/>

² <https://www.gov.br/aeb/pt-br/acoes-e-programas/aplicacoes-espaciais/dados-ambientais>

³ <http://sinda.crn.inpe.br/PCD/>

Figura 1 – Mapa das PCDs distribuídas pelo território nacional



Grande parte dessas PCD é compatível com o padrão *ARGOS v2 Communication Standard* (ARGOS-2), implantado a partir de 1993. Esses dispositivos, entretanto, operam com tecnologias de hardware e software limitadas à época de sua instalação, apresentando restrições quanto à eficiência espectral, robustez contra interferências e capacidade de transmissão de dados. Diante da evolução das demandas de comunicação, da necessidade de aprimorar o desempenho do sistema e da dificuldade na aquisição dos componentes legados para montagem do hardware compatível com ARGOS-2, o *ARGOS v3 Communication Standard* (ARGOS-3) foi desenvolvido.

O sistema ARGOS-3 introduziu o uso de transmissores do tipo PTT-A3 que empregam técnicas digitais mais avançadas, como modulação *Quadrature Phase-Shift Keying* (QPSK), codificação convolucional e embaralhamento de dados, visando maior robustez frente a desvanecimentos e erros de rajada. Esses avanços também motivaram o desenvolvimento de novos transmissores e receptores compatíveis com o padrão PTT-A3 (CNES,

2006).

Neste contexto, o presente trabalho tem como objetivo a simulação de um modulador/demodulador compatível com o padrão PTT-A3, conforme as especificações do sistema ARGOS-3, contribuindo para a formação de massa crítica com domínio técnico sobre os elementos do sistema, a fim de criar melhores condições para que futuros esforços de modernização das PCD do SBCDA possam ser conduzidos.

1.1 OBJETIVOS

Este trabalho tem como objetivo principal a simulação e análise de um sistema de modulação e demodulação compatível com o padrão PTT-A3, utilizado no sistema de satélites ARGOS-3.

1.1.1 Objetivo geral

Simular um sistema de modulação e demodulação compatível com o padrão PTT-A3 do sistema de satélites ARGOS-3.

1.1.2 Objetivos específicos

Para atingir o objetivo geral proposto, este trabalho foi estruturado em uma série de etapas com metas técnicas bem definidas. Os objetivos específicos foram organizados de modo a contemplar a compreensão teórico/prática do padrão de comunicação ARGOS-3. São eles:

- Estudar o padrão de comunicação ARGOS;
- Simular a cadeia de transmissão do padrão PTT-A3;
- Simular o efeito da adição de ruído;
- Simular a detecção de múltiplas portadoras;
- Simular a recepção e demodulação do sinal;
- Simular a sincronização de quadros.
- Simular a montagem e interpretação do datagrama.

1.2 ORGANIZAÇÃO DE TEXTO

O conteúdo deste trabalho está organizado da seguinte forma: O Capítulo 2 apresenta a fundamentação teórica necessária para a compreensão do projeto. Já o Capítulo 3 descreve a proposta de desenvolvimento e as etapas previstas para a execução do projeto.

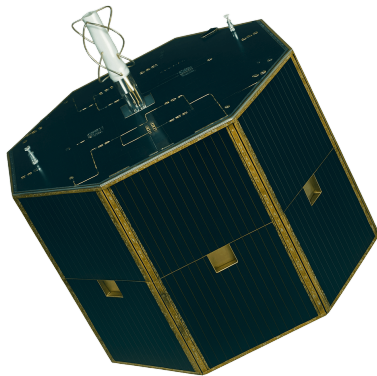
2 REVISÃO BIBLIOGRÁFICA

Esta seção apresenta conceitos e fundamentos teóricos para o desenvolvimento deste trabalho. São apresentados tópicos relacionados a comunicação por satélites, evolução do sistema ARGOS, e técnicas de modulação, codificação e sincronização envolvidas no padrão PTT-A3. O objetivo é fornecer uma base de conhecimento para a compreensão dos requisitos técnicos e operacionais do sistema de comunicação proposto.

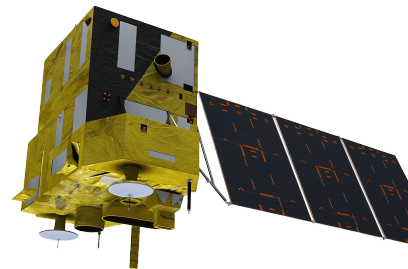
2.1 COLETA DE DADOS SBCDA VIA SATÉLITE

A comunicação por satélites desempenha um papel fundamental na coleta e disseminação de dados ambientais em escala regional e global. No contexto brasileiro, essa função é desempenhada pelo SBCDA, operado pelo INPE. O SBCDA é composto pelos satélites SCD-1, SCD-2 e *China-Brazil Earth Resources Satellite 1* (CBERS-1) até *China-Brazil Earth Resources Satellite 4* (CBERS-4) apresentados na Figura 2 abaixo, que orbitam a aproximadamente 750 km de altitude, recebendo informações transmitidas por PCD espalhadas pelo território nacional (Lima, 2021).

Figura 2 – Satélites para coleta de dados ambientais



Satélite SCD-1



Satélite CBERS-4

Parâmetro	Valor
Massa	115 kg
Potência Elétrica	110 W
Vida útil	4 anos
Altitude média	≈ 750 km
Inclinação orbital	25°
Período orbital	99,7 min

Parâmetro	Valor
Massa	1 980 kg
Potência Elétrica	2 300 W
Vida útil	3 anos
Altitude média	≈ 778 km
Inclinação orbital	$98,54^\circ$
Período orbital	100,32 min

Esses satélites recebem sinais transmitidos pelas PCD na faixa de frequência UHF (401,62 a 401,65 MHz) e os retransmitem para as Estações Terrenas de Recepção (ETR)

localizadas em solo, nas faixas de Banda-S (2267,5 MHz). Como operam em órbitas baixas, esses satélites realizam aproximadamente 14 revoluções por dia sobre o território nacional, o que permite ampla cobertura espacial.

Apesar da ampla cobertura, a comunicação com satélites de órbita baixa apresenta um grande desafio técnico, sendo a necessidade de visada simultânea entre a PCD transmissora e o satélite, o que limita a janela de transmissão e impõe restrições na coleta contínua de dados. Além disso, o movimento relativo entre a PCD e o satélite provoca o chamado efeito Doppler, responsável por deslocamentos na frequência do sinal recebido, podendo atingir até $\pm 79,4$ kHz. Esse desvio precisa ser compensado para garantir a correta demodulação do sinal (Rae, 2005; Rodrigues, 2018).

A confiabilidade do enlace também é impactada por fatores como atenuação no espaço livre, ruídos térmicos, e variações atmosféricas. Para compensar esses fatores, são necessárias técnicas específicas de modulação, sincronização, codificação de dados e planejamento de enlace, de modo a garantir a confiabilidade das mensagens transmitidas.

2.1.1 Constelação Catarina

A Constelação Catarina é um projeto nacional baseado no uso de nanosatélites em órbita baixa, para atuar como um novo braço operacional do SBCDA. A Constelação Catarina é composta por pequenos satélites integrados com *Software Defined Radio* (SDR), capazes de receber sinais transmitidos pelas PCD no padrão ARGOS-2, com planos futuros de migração para o padrão ARGOS-3 (Gomes, 2024).

Diferentemente dos satélites tradicionais, os nanosatélites da Constelação Catarina são projetados para realizar a decodificação e o armazenamento dos dados a bordo, o que permite superar a limitação de visada simultânea entre satélite e ETR, ampliando a cobertura do sistema (Rodrigues, 2018).

A arquitetura dos satélites que compõem a constelação é baseada na integração do transceptor *Analog Devices 9361 - RF Transceptor* (AD9361) com uma *Field Programmable Gate Array* (FPGA) da família de FPGA arquitetura ARM (Zynq-7000), formando uma plataforma de SDR altamente flexível ¹. Essa configuração permite a reconfiguração remota do hardware, o que é especialmente importante para futuras atualizações de protocolo ou migração para novos padrões de comunicação, como o PTT-A3.

2.2 EVOLUÇÃO DO SISTEMA ARGOS

O ARGOS-2, base do SBCDA desde 1993, utiliza transmissores do tipo PTT-A2, baseados em modulação analógica *Phase Modulation* (PM) com codificação Manchester. Essa versão se mostrou eficiente por muitos anos, mas suas limitações logo se tornaram

¹ <https://www.argos-system.org/wp-content/uploads/2023/01/ARTIC-Chipset-AnSem-Info-sheet.pdf>

evidentes, especialmente no que diz respeito à robustez frente a ruído, à largura de banda ocupada e à necessidade de visada simultânea entre PCD e satélite para a ETR (CNES, 2006).

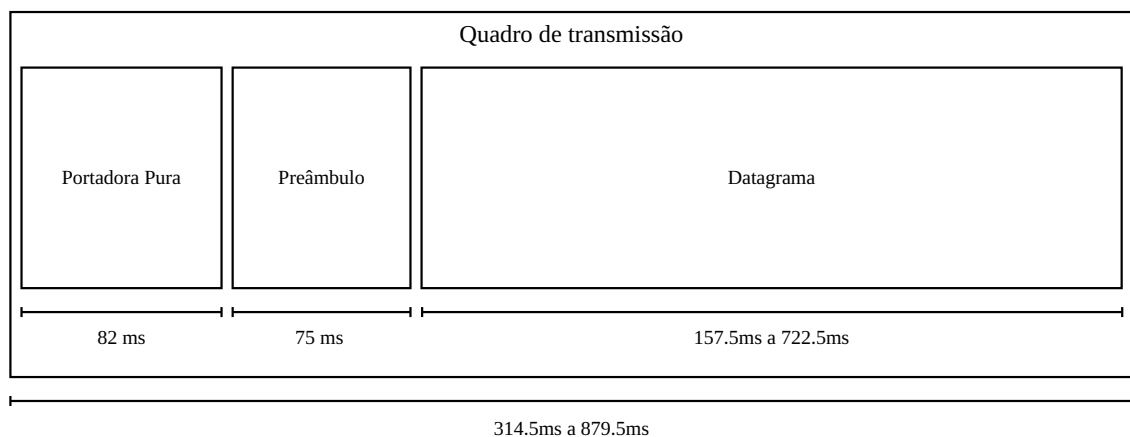
A evolução desse sistema levou ao desenvolvimento do ARGOS-3, que introduziu novas técnicas digitais de comunicação. Essa nova geração incorporou transmissores do tipo PTT-A3 e PTT-ZE, os quais se destacam pela adoção de modulação QPSK, codificação convolucional e embaralhamento de dados, resultando em maior confiabilidade na transmissão e maior eficiência espectral. Além disso, o ARGOS-3 permite o armazenamento e retransmissão de mensagens a bordo do satélite para a ETR (Lima, 2021; Rodrigues, 2018).

2.3 ESPECIFICAÇÕES DO PADRÃO PTT-A3

O transmissor do tipo PTT-A3 é um dos formatos definidos na terceira geração do sistema ARGOS, projetado para oferecer maior robustez na transmissão e maior eficiência na utilização do espectro de frequência.

A estrutura de um quadro PTT-A3 é composta por três campos principais, sendo eles: portadora pura, palavra de sincronismo (preâmbulo) e datagrama. Na Figura 3, a estrutura é apresentada de forma detalhada, considerando que a taxa de transmissão R_b é de 400 *bps* CNES (2006).

Figura 3 – Estrutura do quadro de transmissão ARGOS-3

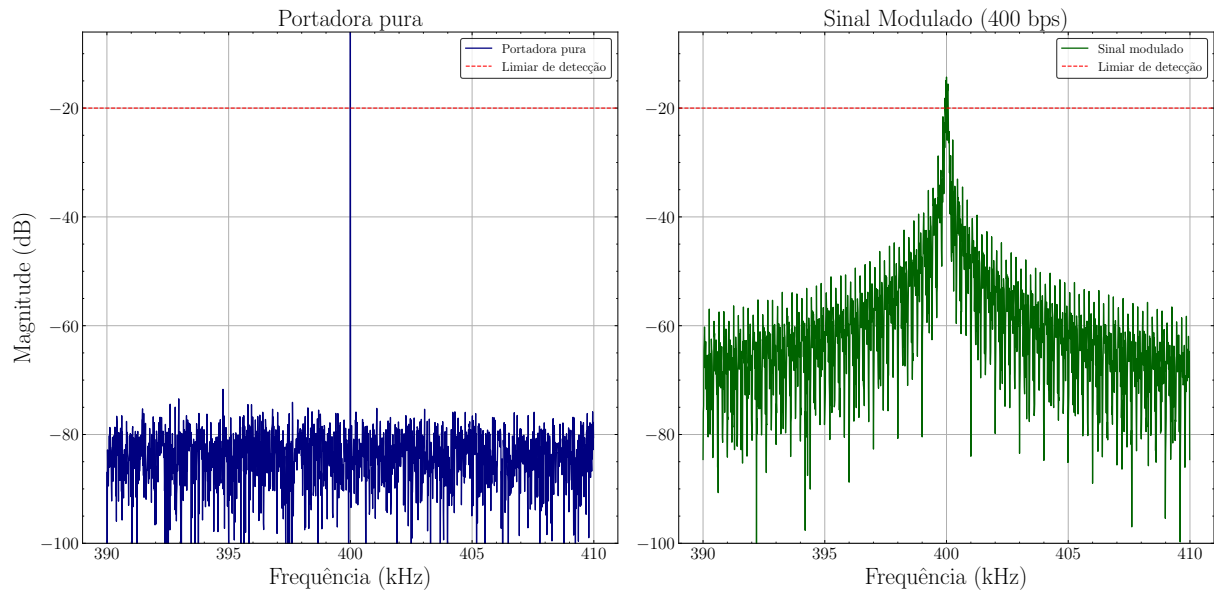


2.3.1 Portadora pura

A sequência de transmissão do quadro inicia-se com a portadora contínua ou pura, com duração de 82 ± 2 ms. Durante essa etapa a portadora não transmite dados modulados e é utilizada pelo receptor apenas para realizar a detecção do sinal, bem como para facilitar o processo de sincronização de frequência e fase da portadora.

A Figura 4 apresenta o sinal da portadora pura no espectro em comparação com o sinal modulado. Nota-se que quando apenas a portadora pura é transmitida, o espectro do sinal é concentrado em uma única frequência, sem componentes laterais. Já o sinal modulado apresenta componentes laterais que se estendem ao redor da frequência da portadora f_c , formando uma banda de uso do espectro mais ampla (CNES, 2006).

Figura 4 – Simulação de portadora pura no domínio da frequência



O processo de detecção do sinal realizado pelo receptor monitora a presença de sinal que ultrapassa um determinado limiar, dessa forma é fundamental que no receptor o sinal esteja o mais concentrado e com a maior *Signal-to-Noise Ratio* (SNR) possível no momento da detecção, para que a frequência da portadora, f_c , seja identificada corretamente (CNES, 2006).

2.3.2 Palavra de sincronismo

Logo após a portadora pura, é transmitida uma palavra de sincronismo de 30 bits (correspondente a 15 símbolos QPSK), cuja função é auxiliar na identificação do início da mensagem codificada, possibilitando a sincronização para decisão. Essa sequência é conhecida e fixa entre transmissor e receptor, no caso do PTT-A3 sendo $S = 2BEEEEBF_{16}$, o que permite alinhar corretamente a decisão e identificar o início do bloco de dados úteis. (CNES, 2006)

A sequência $S[n]$ é separada em dois vetores distintos, $S_I[n]$ e $S_Q[n]$, por meio de uma intercalação simples de seus bits. O processo de intercalação consiste em distribuir os bits de forma alternada entre os canais $S_I[n]$ e $S_Q[n]$, resultando em duas sequências de 15 bits cada, que serão transmitida como preâmbulo (CNES, 2006), usando a sequência padrão do ARGOS-3 podemos representar como

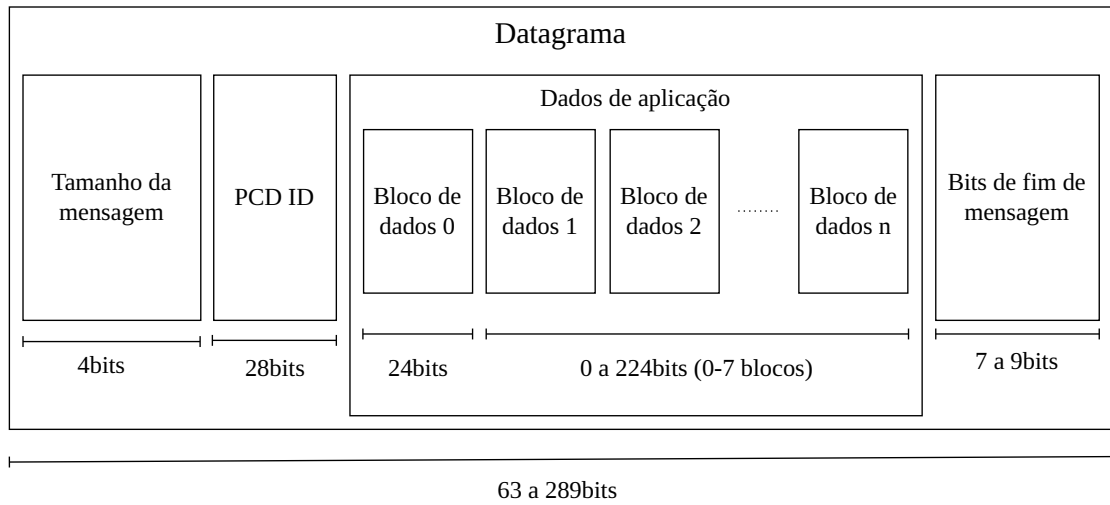
$$\begin{aligned}
S_I[n] &= [S_0, S_2, S_4, \dots, S_{28}] \mapsto S_I[n] = [1111, 1111, 1111, 111] \\
S_Q[n] &= [S_1, S_3, S_5, \dots, S_{29}] \mapsto S_Q[n] = [0011, 0101, 0100, 111]
\end{aligned}
\tag{2.1}$$

Importante destacar que esta palavra não é codificada convoluacionalmente ou embaralhada, sendo adicionada ao início do vetor de bits de cada canal após esses blocos. (CNES, 2006).

2.3.3 Datagrama

Após o envio da palavra de sincronismo, inicia-se a transmissão dos dados modulados. Esses dados são organizados segundo a estrutura definida pelo datagrama do padrão ARGOS-3, que contém os campos responsáveis pela identificação da plataforma, carga útil de dados e controle de finalização, conforme apresentado na Figura 5 (CNES, 2006).

Figura 5 – Estrutura do datagrama ARGOS-3



2.4 ESTRUTURA DE UM DATAGRAMA ARGOS-3

O datagrama transmitido no padrão ARGOS-3 possui uma estrutura bem definida, composta por campos de dados do usuário, que carregam as informações provenientes dos sensores da PCD, e por campos de cabeçalho, responsáveis por identificar a estação transmissora e informar o comprimento total da mensagem. Esses campos incluem o identificador da PCD, o número de blocos de dados e um bit de paridade, que auxilia na verificação de integridade da informação. Essa organização permite que o sistema receptor interprete corretamente o conteúdo transmitido e associe os dados recebidos à plataforma correspondente.

2.4.1 Dados de aplicação

A primeira etapa na montagem do datagrama consiste na coleta dos dados de aplicação, isto é, os dados que efetivamente contêm informação dos sensores a serem transmitidos da PCD para o satélite.

2.4.1.1 Sensores

Cada sensor presente nas PCD gera um valor de oito bits correspondente à variável monitorada, possibilitando assim 256 (2^8) níveis de monitoramento para cada sensor. A PCD pode ser equipada com diferentes sensores, de acordo com o cenário de instalação e os parâmetros ambientais de interesse.

Entre os sensores comumente utilizados, destacam-se os de direção do vento ($^\circ$), precipitação (mm), pressão atmosférica (mB), radiação solar acumulada (MJ/m²), temperatura do ar ($^\circ$ C), umidade relativa (%), e velocidade do vento (m/s). Por exemplo, os dados ² coletados da PCD 31855 são mostrados no Quadro 1.

Quadro 1 – Dados meteorológicos da PCD 31855 (10/10/2007 - 11/10/2007)

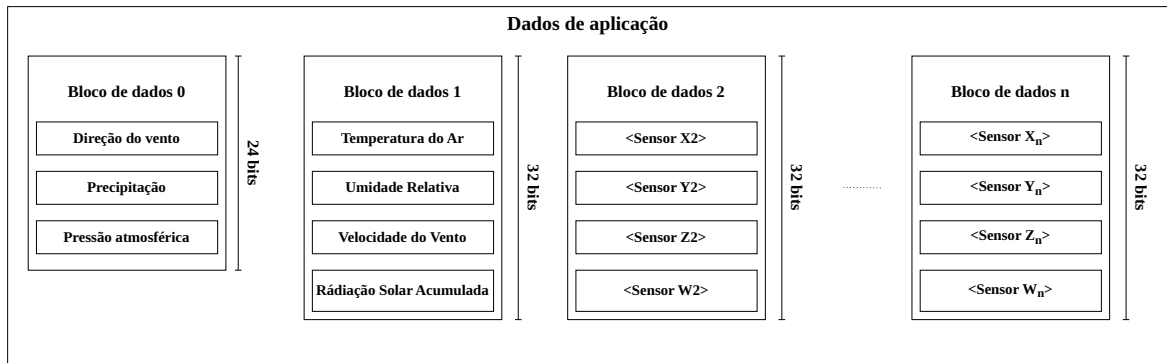
DataHora	DirVento	Precip.	PressãoAtm	RadSolAcum	TempAr	UmidRel	VelVento
2007-11-10 21h	0	0	945.5	2.3	30.8	25.6	0
2007-11-10 18h	0	0	943.8	8.75	36.5	20.8	0
2007-11-10 15h	0	0	947.3	9.72	33.6	28.8	0
2007-11-10 12h	0	0	950.1	4.98	28.0	51.2	0
2007-11-10 09h	0	0	949.3	0.17	20.9	60.8	0
2007-11-10 06h	0	0	947.8	0.00	21.8	52.8	0
2007-11-10 03h	0	0	948.0	0.00	23.5	40.0	0
2007-11-10 00h	0	0	948.4	0.00	21.9	35.2	0
2007-11-09 21h	0	0	946.1	0.48	30.8	20.8	0
2007-11-09 18h	0	0	945.1	9.13	36.3	16.0	0
2007-11-09 15h	0	0	948.4	10.13	34.5	22.4	0
2007-11-09 12h	0	0	950.9	3.44	28.5	46.4	0

2.4.1.2 Blocos de dados

Os dados dos sensores são agrupados em conjuntos denominados ‘blocos de dados’ contendo quatro sensores por bloco, conforme ilustrado na Figura 6. Assim, cada bloco de dados possui 32 bits ($4 \cdot 8$ bits), sendo o valor mínimo de um bloco de dados para montar um datagrama PTT-A3 (exceto o primeiro bloco que possui apenas 24 bits de comprimento). Para o caso específico em que a PCD irá transmitir apenas um bloco, ela poderá abrigar apenas três sensores. Caso haja mais de um bloco, o comprimento é dado por $24 + (N_b - 1) \cdot 32$ bits CNES (2006).

² <http://sinda.crn.inpe.br/PCD/SITE/novo/site/historico/action.php>

Figura 6 – Exemplo de agrupamento de sensores por bloco de dados



2.4.2 Tamanho de mensagem

O campo de tamanho de mensagem T_m é utilizado para informar ao receptor quantos blocos de dados estão sendo transmitidos no datagrama, este campo é formado pelo número de blocos em formato binário B_m e pelo bit de paridade P_m para fechar uma seção de 4 bits. Como cada bloco possui 32 bits (exceto o primeiro), é possível determinar o comprimento total dos dados de aplicação de $B_m = (N_b - 1)_2$. O número de blocos N_b , pode variar de um a oito, resultando no comprimento esperado de bits no receptor para cada caso, conforme o Quadro 2 abaixo.

Quadro 2 – Comprimento em bits para cada tamanho de mensagem (T_m)

Nº de Blocos	Nº de Bits	B_m	P_m	T_m
1	24	000	0	0000
2	56	001	1	0011
3	88	010	0	0100
4	120	011	1	0111
5	152	100	0	1000
6	184	101	1	1011
7	216	110	0	1100
8	248	111	1	1111

Conforme apresentado acima, para cada valor de B_m , um valor de P_m é calculado. O bit de paridade é calculado de forma a garantir que o número total de bits '1' na mensagem seja par, e é dado por

$$P_m = \begin{cases} 1, & \text{se } \left[\sum_{i=0}^{B_m} b_i = 0 \right] \pmod{2} \\ 0, & \text{se } \left[\sum_{i=0}^{B_m} b_i = 1 \right] \pmod{2} \end{cases} \quad (2.2)$$

Ao final, o campo de tamanho de mensagem T_m é formado pela concatenação do valor de B_m e P_m , resultando em um campo de 4 bits CNES (2006).

2.4.3 Identificador da PCD

O identificador da PCD, PCD_{ID} , é um campo de 28 bits presente na estrutura da mensagem do usuário no formato PTT-A3. Ele é utilizado para identificar de forma única a PCD que está transmitindo a mensagem, sendo essencial para o correto encaminhamento e associação dos dados recebidos no centro de controle do sistema ARGOS, CNES (2006).

O PCD_{ID} é formado por um número de 20 bits, I_{PCD} , seguido por oito bits R_{PCD} de redundância calculados através da soma (checksum) dos bits do identificador, conforme

$$R_{PCD} = \left(\sum_{i=0}^{19} I_{PCD} \cdot 2^i \right) \bmod 256 , \quad (2.3)$$

$$PCD_{ID} = I_{PCD} \oplus R_{PCD} . \quad (2.4)$$

É importante destacar que a proteção contra erros nesse campo é assegurada de forma indireta pelo uso da codificação convolucional aplicada à mensagem como um todo, além da redundância oferecida pelo número de repetições da mensagem ao longo da passagem do satélite.

2.4.4 Bits de fim de mensagem

Ao final do datagrama, são inseridos entre sete e nove bits '0' com a finalidade de limpar o registrador do codificador convolucional, dando o encerramento da sequência codificada. A quantidade de bits de fim de mensagem adicionados depende do comprimento total da mensagem do usuário, conforme apresentado na Quadro 3. Apesar de não carregar dados úteis a nível de aplicação, esses bits são fundamentais para o correto funcionamento do processo de decodificação (CNES, 2006).

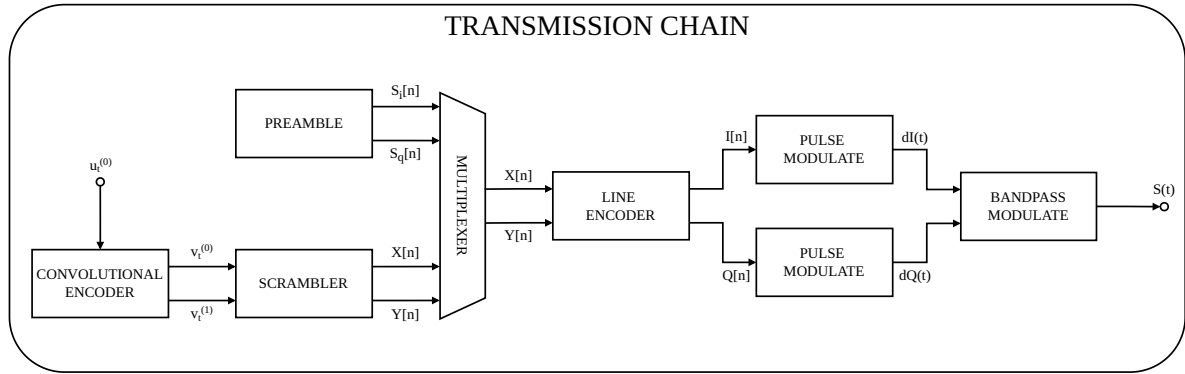
Quadro 3 – Bits adicionados às mensagens do usuário antes da codificação

Nº de Blocos	Bits Aplicação	Bits Datagrama	Nº bits "0"
1	24	56	7
2	56	88	8
3	88	120	9
4	120	152	7
5	152	184	8
6	184	216	9
7	216	248	7
8	248	280	8

2.5 TRANSMISSOR PTT-A3

Na Figura 7 ilustra-se o diagrama de blocos do transmissor PTT-A3. Cada bloco é responsável por uma etapa da transmissão, desde a montagem do datagrama até a modulação em banda passante e a transmissão do sinal $s(t)$.

Figura 7 – Diagrama de blocos do transmissor ARGOS-3



2.5.1 Codificador convolucional

Antes da transmissão, os dados do datagrama precisam ser codificados, e esse processo é realizado através de um codificador convolucional. Essa técnica de codificação aplica uma operação lógica sobre uma janela deslizante de bits de entrada u_t , gerando uma sequência de saída com redundância controlada. Diferente da codificação por bloco, onde os dados são processados em blocos fixos, a codificação convolucional considera a sequência contínua de bits, combinando o bit atual com um número fixo de bits anteriores através de vetores geradores (Shu, 2011).

A taxa de codificação utilizada no padrão PTT-A3 é $R = 1/2$, o que significa que para cada bit de dados de entrada u_t , são gerados dois bits de saída, um no canal I e outro no canal Q , aumentando a redundância e melhorando a capacidade do sistema de detectar e corrigir erros. Para a codificação convolucional, são utilizados vetores geradores G_0 e G_1 , de acordo com o padrão CCSDS 131.1-G-2 (CNES, 2006). A representação binária dos vetores geradores é dada por

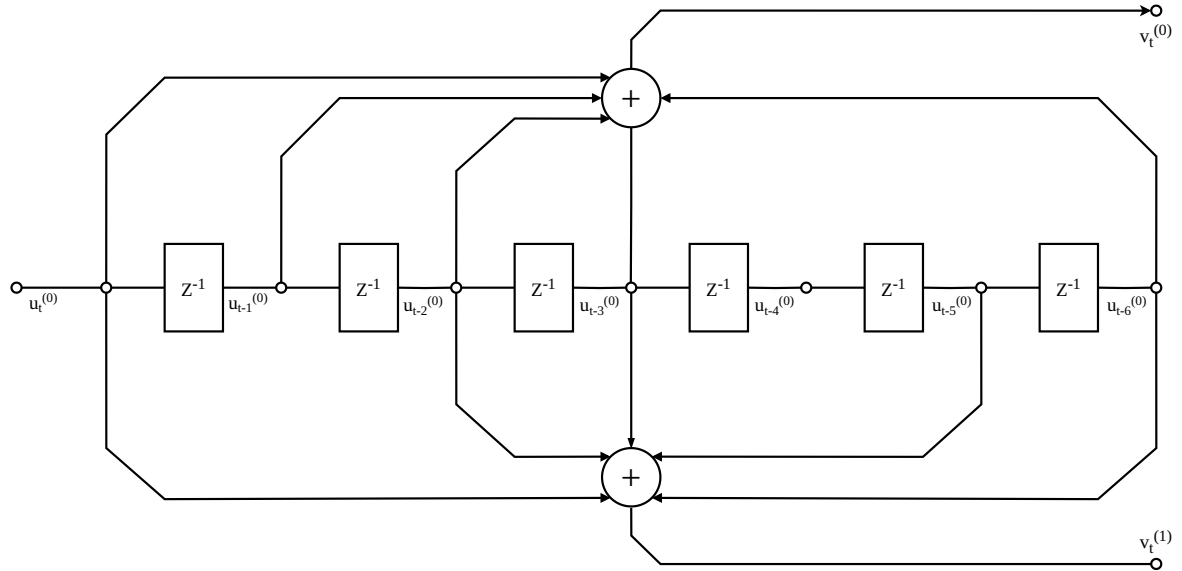
$$\begin{aligned} G_0 = 121_{10} &\mapsto G_0 = [1, 1, 1, 1, 0, 0, 1] \\ G_1 = 091_{10} &\mapsto G_1 = [1, 0, 1, 1, 0, 1, 1]. \end{aligned} \quad (2.5)$$

Os vetores geradores são utilizados para definir a estrutura do registrado do codificação convolucional aplicada à sequência de entrada u_t , resultando nas saídas $v_t^{(0)}$ e $v_t^{(1)}$, que correspondem, respectivamente, aos canais I e Q utilizados posteriormente na modulação QPSK. Essa operação pode ser representada por uma multiplicação vetorial entre uma janela deslizante de sete bits da entrada e a matriz formada pelos vetores geradores, conforme

$$\begin{bmatrix} v_t^{(0)} & v_t^{(1)} \end{bmatrix} = \begin{bmatrix} u_{(t)} & u_{(t-1)} & u_{(t-2)} & u_{(t-3)} & u_{(t-4)} & u_{(t-5)} & u_{(t-6)} \end{bmatrix} \cdot \begin{bmatrix} 1 & 1 & 1 & 1 & 0 & 0 & 1 \\ 1 & 0 & 1 & 1 & 0 & 1 & 1 \end{bmatrix}^T \quad (2.6)$$

que pode ser representada de forma equivalente pelo diagrama de blocos apresentado na Figura 8 (CNES, 2006).

Figura 8 – Diagrama de blocos do codificador convolucional ARGOS-3



3 PROPOSTA

teste

REFERÊNCIAS

CENTENARO, Marco *et al.* A Survey on Technologies, Standards and Open Challenges in Satellite IoT. **IEEE Communications Surveys & Tutorials**, v. 23, n. 3, p. 1693–1720, 2021. DOI: 10.1109/COMST.2021.3078433.

CNES, Project Team. Services and Message Formats Ed2 Rev2. en, p. 80, 2006.

DUARTE, José Marcelo L. *et al.* A multiuser decoder based on spectrum analysis for the Brazilian Environmental Data Collecting System. en. **International Journal of Satellite Communications and Networking**, v. 39, n. 2, p. 205–220, 2021. Publisher: John Wiley & Sons, Ltd. ISSN 1542-0981. DOI: 10.1002/sat.1381. Disponível em: <https://onlinelibrary.wiley.com/doi/10.1002/sat.1381>.

FRAIRE, Juan A.; CÉSPEDES, Sandra; ACCETTURA, Nicola. Direct-To-Satellite. en. *In: AD-HOC, Mobile, and Wireless Networks*. Springer, Cham, 2019. p. 241–258. ISSN: 1611-3349. ISBN 978-3-030-31831-4. DOI: 10.1007/978-3-030-31831-4_17. Disponível em: https://link.springer.com/chapter/10.1007/978-3-030-31831-4_17.

GOMES, Guilherme Peinador. Otimização de órbita para comunicação de nanossatélites da Constelação Catarina. pt, 2024. Accepted: 2024-07-11. Publisher: Joinville, SC. Disponível em: <https://repositorio.ufsc.br/handle/123456789/255917>.

LIMA, Raffael Sadite Cordoville Gomes de. **A parallel software-defined ultra-low-power receiver for a satellite message forwarding system**. 2021. Diss. (Mestrado) – Universidade Federal do Rio Grande do Norte. Accepted: 2022-02-02. Disponível em: <https://repositorio.ufrn.br/handle/123456789/45768>.

RAE, João Carlos Pécala. **Detector de sinais para os satélites do Sistema Brasileiro de Coleta de Dados usando análise espectral digital**. 2005. Dissertação de Mestrado – Nome da Instituição, Brasil. Disponível conforme normas APA, Chicago e MLA.

RODRIGUES, José Antonio. Demodulador ARGOS III Compatível com Sinais PTT-A2 e PTT-A3. pt, p. 104, 2018. Disponível em: <http://mtc-m21c.sid.inpe.br/col/sid.inpe.br/mtc-m21c/2018/08.01.12.38/doc/publicacao.pdf>.

SHU, L. **Error Control Coding**. Pearson India, 2011. ISBN 9788131734407. Disponível em: https://books.google.com.br/books?id=BG08Zylo_7gC.

SILVA, Ramon Brandi da; ALMEIDA, Eugenio Sper de. Um framework para a identificação e diferenciação de plataformas de coleta de dados ambientais do Sistema Nacional de Dados Ambientais (SINDA). pt. *In: SIMPÓSIO Brasileiro de Sistemas de Informação*

(SBSI). SBC, 2022. p. 17–20. ISSN: 0000-0000. DOI: 10.5753/sbsi_estendido.2022.222715. Disponível em: https://sol.sbc.org.br/index.php/sbsi_estendido/article/view/21563.

APÊNDICE A – MEU PRIMEIRO APÊNDICE

Texto ou documento, elaborado pelo autor, a fim de complementar sua argumentação, sem prejuízo da unidade nuclear do trabalho. Os apêndices são identificados por letras maiúsculas ordenadas alfabeticamente, travessão e pelo respectivo título.

ANEXO A – MEU PRIMEIRO ASSUNTO DE ANEXO

Texto ou documento não elaborado pelo autor, que serve de fundamentação, comprovação e ilustração. Os anexos são identificados por letras maiúsculas ordenadas alfabeticamente, travessões e pelos respectivos títulos.

ANEXO B – SEGUNDO ASSUNTO QUE PESQUISEI

Lorem ipsum dolor sit amet, consectetur adipiscing elit. Ut purus elit, vestibulum ut, placerat ac, adipiscing vitae, felis. Curabitur dictum gravida mauris. Nam arcu libero, nonummy eget, consectetur id, vulputate a, magna. Donec vehicula augue eu neque. Pellentesque habitant morbi tristique senectus et netus et malesuada fames ac turpis egestas. Mauris ut leo. Cras viverra metus rhoncus sem. Nulla et lectus vestibulum urna fringilla ultrices. Phasellus eu tellus sit amet tortor gravida placerat. Integer sapien est, iaculis in, pretium quis, viverra ac, nunc. Praesent eget sem vel leo ultrices bibendum. Aenean faucibus. Morbi dolor nulla, malesuada eu, pulvinar at, mollis ac, nulla. Curabitur auctor semper nulla. Donec varius orci eget risus. Duis nibh mi, congue eu, accumsan eleifend, sagittis quis, diam. Duis eget orci sit amet orci dignissim rutrum.

Nam dui ligula, fringilla a, euismod sodales, sollicitudin vel, wisi. Morbi auctor lorem non justo. Nam lacus libero, pretium at, lobortis vitae, ultricies et, tellus. Donec aliquet, tortor sed accumsan bibendum, erat ligula aliquet magna, vitae ornare odio metus a mi. Morbi ac orci et nisl hendrerit mollis. Suspendisse ut massa. Cras nec ante. Pellentesque a nulla. Cum sociis natoque penatibus et magnis dis parturient montes, nascetur ridiculus mus. Aliquam tincidunt urna. Nulla ullamcorper vestibulum turpis. Pellentesque cursus luctus mauris.

Nulla malesuada porttitor diam. Donec felis erat, congue non, volutpat at, tincidunt tristique, libero. Vivamus viverra fermentum felis. Donec nonummy pellentesque ante. Phasellus adipiscing semper elit. Proin fermentum massa ac quam. Sed diam turpis, molestie vitae, placerat a, molestie nec, leo. Maecenas lacinia. Nam ipsum ligula, eleifend at, accumsan nec, suscipit a, ipsum. Morbi blandit ligula feugiat magna. Nunc eleifend consequat lorem. Sed lacinia nulla vitae enim. Pellentesque tincidunt purus vel magna. Integer non enim. Praesent euismod nunc eu purus. Donec bibendum quam in tellus. Nullam cursus pulvinar lectus. Donec et mi. Nam vulputate metus eu enim. Vestibulum pellentesque felis eu massa.